

## ПРИЛОЖЕНИЕ 7

### Каталог объектов дешифрирования территории угольного разреза

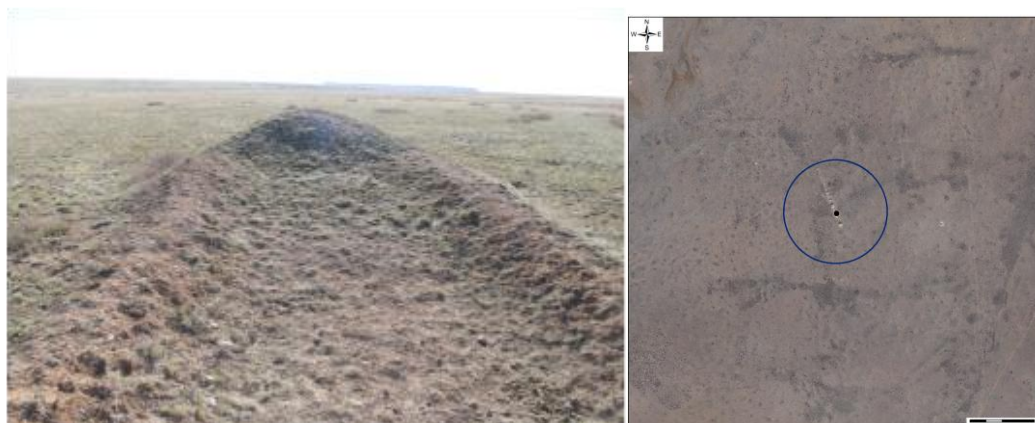


Рисунок 1. Объект №1.

Разрыто 30x4x1,5 м насыпь 2x4x1 м. Географические координаты: долгота 78°42'15,92", широта 50°2'40,63". Значения МЭД варьируют от 0,12 до 0,17 мкЗв/ч. Плотность потока  $\beta$ -частиц составляет <10 част/(мин×см<sup>2</sup>).



Рисунок 2. Объект №2.

Яма d=10м., глубина 3м. разрыто 20x4x1,5м. Географические координаты: долгота 78°42'43,8", широта 50°2'38,2". Значения МЭД варьируют от 0,11 до 0,13 мкЗв/ч. Плотность потока  $\beta$ -частиц составляет <10 част/(мин×см<sup>2</sup>).

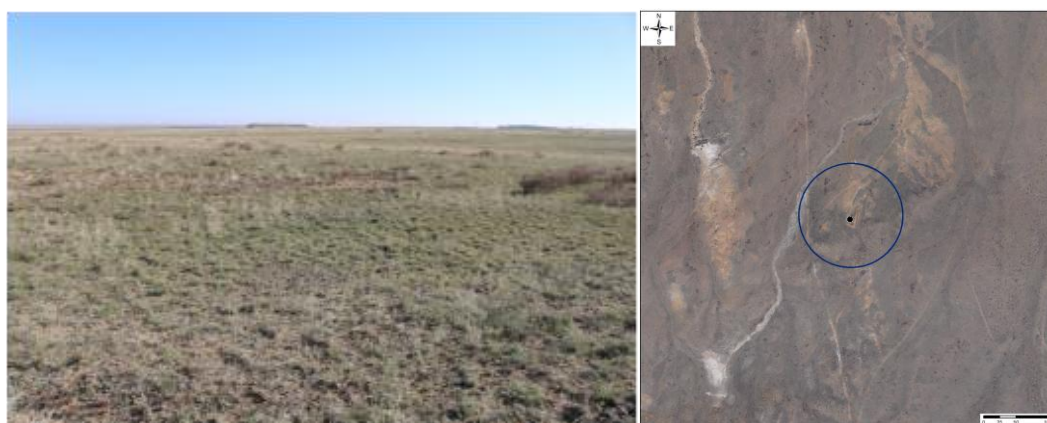


Рисунок 3. Объект №3.

Разрыто 30x1x3м. Географические координаты: долгота 78°43'16,04", широта 50°2'44,56". Значения МЭД варьируют от 0,10 до 0,11 мкЗв/ч. Плотность потока  $\beta$ -частиц составляет <10 част/(мин×см<sup>2</sup>).



Рисунок 4. Объект №4.

Площадка для погрузки и разгрузки, огорожена забором 50x100 м, рядом отвал d=20 м, высота 5 м. Географические координаты: долгота 78°42'40,33", широта 50°1'56,75". Значения МЭД варьируют от 0,14 до 0,16 мкЗв/ч. Плотность потока  $\beta$ -частиц составляет <10 част/(мин×см<sup>2</sup>).



Рисунок 5. Объект №5.

Три траншеи расположены рядом (длина неизвестна), 2x1,2 м, в 20 м расположена линия электропередачи. Географические координаты: долгота 78°42'19,48", широта 50°1'54,63". Значения МЭД варьируют от 0,11 до 0,13 мкЗв/ч. Плотность потока  $\beta$ -частиц составляет <10 част/(мин×см<sup>2</sup>).



Рисунок 6. Объект №6.

Траншея 50x1,2x1 м. Географические координаты: долгота 78°42'17,97", широта 50°1'41,65". Значения МЭД варьируют от 0,10 до 0,12 мкЗв/ч. Плотность потока  $\beta$ -частиц составляет <10 част/(мин×см<sup>2</sup>).

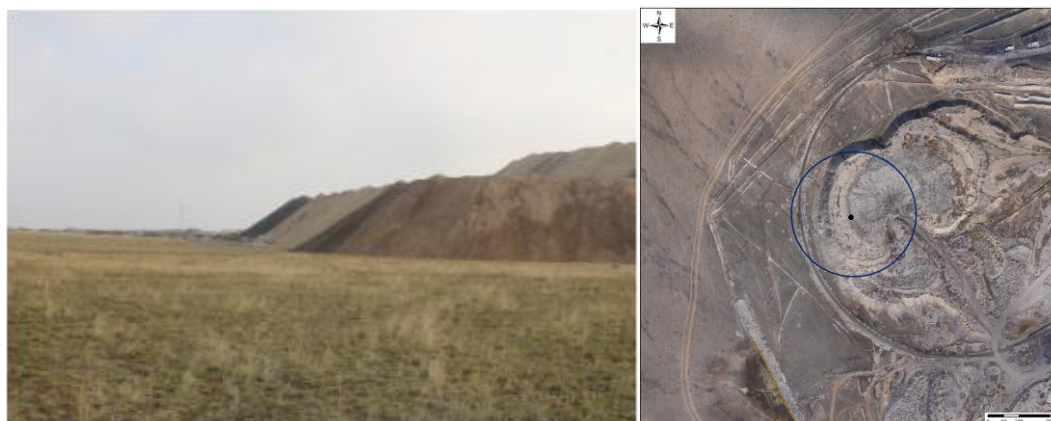


Рисунок 7. Объект №7.

Западный внешний отвал. Географические координаты: долгота 78°42'28,15", широта 50°1'40,14". Значения МЭД варьируют от 0,10 до 0,11 мкЗв/ч. Плотность потока  $\beta$ -частиц составляет <10 част/(мин×см<sup>2</sup>).



Рисунок 8. Объект №8.

Резервный карьер, отвалы (площадь неизвестна). Географические координаты: долгота 78°42'38,8", широта 50°1'17,94". Значения МЭД варьируют от 0,10 до 0,13 мкЗв/ч. Плотность потока  $\beta$ -частиц составляет <10 част/(мин×см<sup>2</sup>).



Рисунок 9. Объект №9.

Яма диаметром 10 м, глубина 1 м, высота бровки 1 м. Географические координаты: долгота 50°41'46,85", широта 78°43'1,28". Значения МЭД варьируют от 0,12 до 0,14 мкЗв/ч. Плотность потока  $\beta$ -частиц составляет <10 част/(мин $\times$ см<sup>2</sup>).



Рисунок 10. Объект №10.

Траншея (длина не известна) 1x1 м, насыпь (длина не известна) 1x1 м. Географические координаты: долгота 78°42'30,41", широта 50°0'58,82". Значения МЭД варьируют от 0,10 до 0,13 мкЗв/ч. Плотность потока  $\beta$ -частиц составляет <10 част/(мин $\times$ см<sup>2</sup>).



Рисунок 11. Объект №11.

Карьер, внутренний юго-западный отвал. Географические координаты: долгота 78°43'2,17", широта 50°0'47,67". Значения МЭД варьируют от 0,10 до 0,13 мкЗв/ч. Плотность потока  $\beta$ -частиц составляет <10 част/(мин $\times$ см<sup>2</sup>).



Рисунок 12. Объект №12.

Западная подстанция по периметру забор 50x50 м. Географические координаты: долгота 78°42'51,52", широта 50°0'24,72". Значения МЭД варьируют от 0,11 до 0,13 мкЗв/ч. Плотность потока  $\beta$ -частиц составляет <10 част/(мин $\times$ см<sup>2</sup>).



Рисунок 13. Объект №13.

Траншея 200x2x1,2 м. Географические координаты: долгота 78°43'11,43", широта 50°0'28,44". Значения МЭД варьируют от 0,10 до 0,11 мкЗв/ч. Плотность потока  $\beta$ -частиц составляет <10 част/(мин $\times$ см<sup>2</sup>).

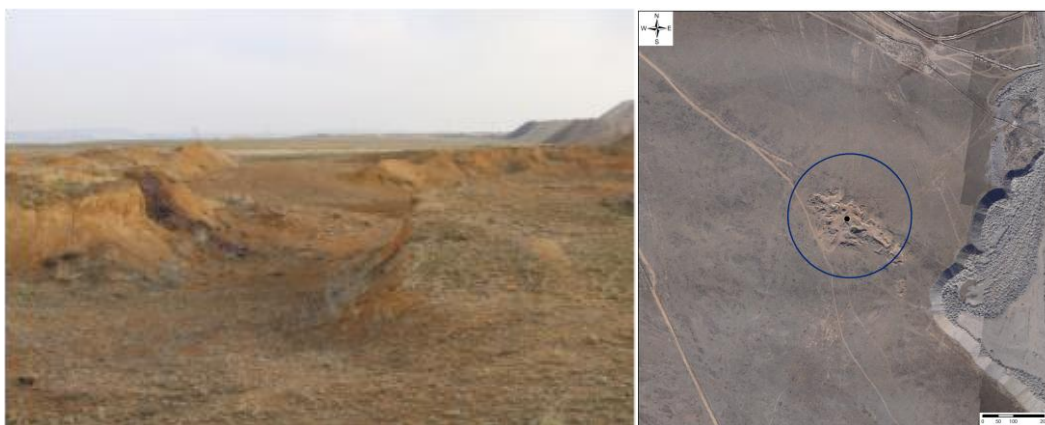


Рисунок 14. Объект №14.

Разрыто 100x80x10 м. Географические координаты: долгота 78°43'44,13", широта 50°0'1,2". Значения МЭД варьируют от 0,10 до 0,11 мкЗв/ч. Плотность потока  $\beta$ -частиц составляет <10 част/(мин $\times$ см<sup>2</sup>).



Рисунок 15. Объект №15.

Южный внешний отвал. Географические координаты: долгота  $78^{\circ}44'19,99''$ , широта  $49^{\circ}59'55,8''$ . Значения МЭД варьируют от 0,10 до 0,11 мкЗв/ч. Плотность потока  $\beta$ -частиц составляет  $<10$  част/(мин $\times$ см $^2$ ).



Рисунок 16. Объект №16.

Скважина  $d=20$  м от земли 0,30 м, (без воды). Географические координаты: долгота  $78^{\circ}45'53,9''$ , широта  $49^{\circ}59'18,9''$ . Значения МЭД варьируют от 0,13 до 0,16 мкЗв/ч. Плотность потока  $\beta$ -частиц составляет  $<10$  част/(мин $\times$ см $^2$ ).



Рисунок 17. Объект №17.

Скважина  $d=0,20$  м от земли 0,50 м, (без воды). Географические координаты: долгота  $78^{\circ}45'57,5''$ , широта  $49^{\circ}59'26,9''$ . Значения МЭД варьируют от 0,11 до 0,13 мкЗв/ч. Плотность потока  $\beta$ -частиц составляет  $<10$  част/(мин $\times$ см $^2$ ).



Рисунок 18. Объект №18.

Скважина  $d=0,20$  м (обсадная труба выдернута и лежит рядом). Географические координаты: долгота  $78^{\circ}45'51,1''$ , широта  $49^{\circ}59'57,6''$ . Значения МЭД варьируют от 0,11 до 0,13 мкЗв/ч. Плотность потока  $\beta$ -частиц составляет  $<10$  част/(мин $\times$ см $^2$ ).



Рисунок 19. Объект №19.

1. яма  $3 \times 1,5 \times 1,5$  м, 2. яма  $3 \times 2 \times 1,5$  м, две насыпи 1.  $d=3$  м высота 1 м, 2.  $d=3$  м высота 2 м. Географические координаты: долгота  $78^{\circ}47'20,1''$ , широта  $49^{\circ}59'45''$ . Значения МЭД варьируют от 0,10 до 0,13 мкЗв/ч. Плотность потока  $\beta$ -частиц составляет  $<10$  част/(мин $\times$ см $^2$ ).



Рисунок 20. Объект №20.

Скважина  $d=0,30$  м (обсадная труба отсутствует, засыпана). Географические координаты: долгота  $78^{\circ}48'43,5''$ , широта  $49^{\circ}59'13,9''$ . Значения МЭД варьируют от 0,10 до 0,13 мкЗв/ч. Плотность потока  $\beta$ -частиц составляет  $<10$  част/(мин $\times$ см $^2$ ).



Рисунок 21. Объект №21

Скважина  $d=0,20$  м (обсадная труба спилена, без воды). Географические координаты: долгота  $78^{\circ}49'22,99''$ , широта  $49^{\circ}58'58,14''$ . Значения МЭД варьируют от 0,10 до 0,13 мкЗв/ч. Плотность потока  $\beta$ -частиц составляет  $<10$  част/(мин $\times$ см $^2$ ).

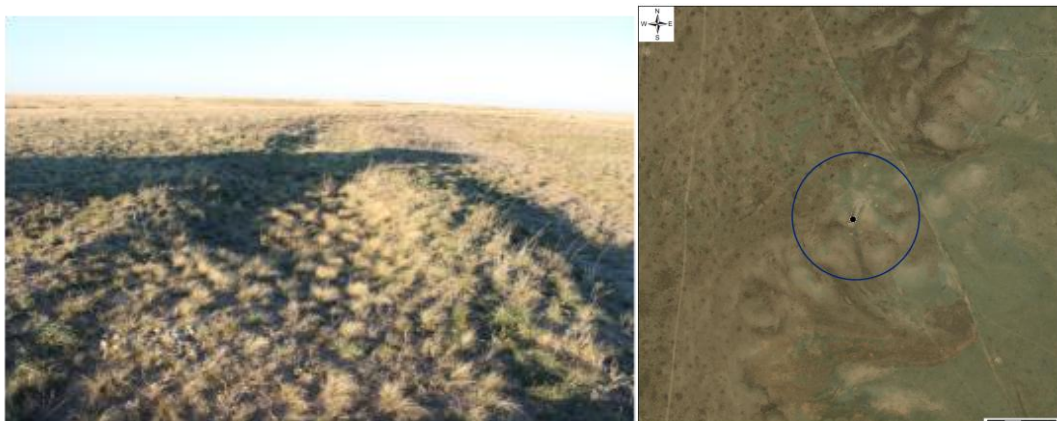


Рисунок 22. Объект №22.

Разрыто  $10 \times 2 \times 0,40$  м, насыпь  $d=2,5$  м высота 1,30 м. Географические координаты: долгота  $78^{\circ}48'57,92''$ , широта  $49^{\circ}59'30,35''$ . Значения МЭД варьируют от 0,11 до 0,14 мкЗв/ч. Плотность потока  $\beta$ -частиц составляет  $<10$  част/(мин $\times$ см $^2$ ).



Рисунок 23. Объект №23.

Скважина  $d=0,30$  м (обсадная труба отсутствует, без воды), в 5м, яма  $2,5 \times 2 \times 1$  м. Географические координаты: долгота  $78^{\circ}48'51,52''$ , широта  $49^{\circ}58'35''$ . Значения МЭД варьируют от 0,10 до 0,12 мкЗв/ч. Плотность потока  $\beta$ -частиц составляет  $<10$  част/(мин $\times$ см $^2$ ).



Рисунок 24. Объект №24.

Скважина  $d=0,20$  м (обсадная труба спилена, опалубка с кирпича  $1 \times 1$  м, с водой). Географические координаты: долгота  $78^{\circ}48'23,2''$ , широта  $49^{\circ}58'52,1''$ . Значения МЭД варьируют от 0,10 до 0,11 мкЗв/ч. Плотность потока  $\beta$ -частиц составляет  $<10$  част/(мин $\times$ см $^2$ ).



Рисунок 25. Объект №25.

Скважина №560  $d=0,20$  м (обсадная труба спилена, опалубка  $1 \times 1$  м, без воды). Географические координаты: долгота  $78^{\circ}47'52''$ , широта  $49^{\circ}59'13''$ . Значения МЭД варьируют от 0,10 до 0,11 мкЗв/ч. Плотность потока  $\beta$ -частиц составляет  $<10$  част/(мин $\times$ см $^2$ ).



Рисунок 26. Объект №26.

Скважина №500  $d=0,30$  м (от земли 1,2 м, без воды). Географические координаты: долгота  $78^{\circ}47'40''$ , широта  $49^{\circ}59'1''$ . Значения МЭД варьируют от 0,10 до 0,11 мкЗв/ч. Плотность потока  $\beta$ -частиц составляет  $<10$  част/(мин $\times$ см $^2$ ).



Рисунок 27. Объект №27.

Скважина №509  $d=0,30$  м (от земли 1 м, без воды). Географические координаты: долгота  $78^{\circ}47'37''$ , широта  $49^{\circ}58'51''$ . Значения МЭД варьируют от 0,10 до 0,11 мкЗв/ч. Плотность потока  $\beta$ -частиц составляет  $<10$  част/(мин $\times$ см $^2$ ).



Рисунок 28. Объект №28.

Скважина №507  $d=0,20$  м (от земли 1 м, без воды). Географические координаты: долгота  $78^{\circ}47'36,1''$ , широта  $49^{\circ}58'55,2''$ . Значения МЭД варьируют от 0,10 до 0,11 мкЗв/ч. Плотность потока  $\beta$ -частиц составляет  $<10$  част/(мин $\times$ см $^2$ ).



Рисунок 29. Объект №29.

Скважина ШБ-1  $d=0,20$  м (от земли 1 м, без воды). Географические координаты: долгота  $78^{\circ}46'57,6''$ , широта  $49^{\circ}59'15,1''$ . Значения МЭД варьируют от 0,10 до 0,14 мкЗв/ч. Плотность потока  $\beta$ -частиц составляет  $<10$  част/(мин $\times$ см $^2$ ).

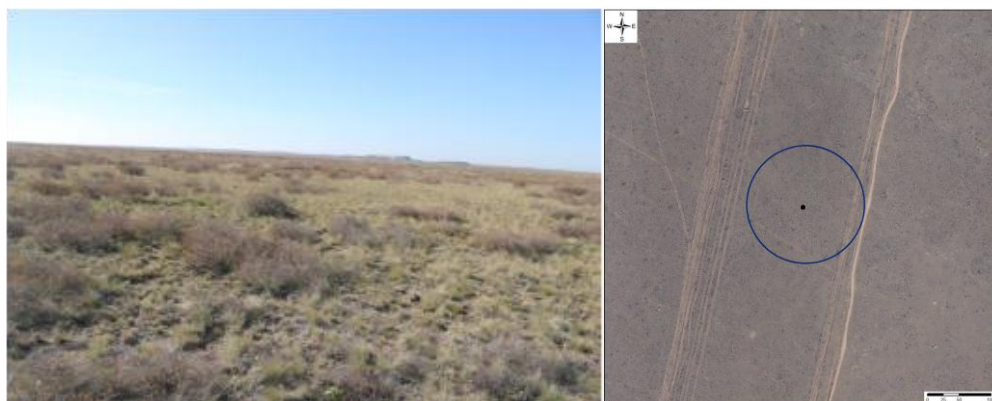


Рисунок 30. Объект №30.

Объект визуально не обнаружен. Географические координаты: долгота  $78^{\circ}46'18''$ , широта  $49^{\circ}59'20''$ . Значения МЭД варьируют от 0,14 до 0,17 мкЗв/ч. Плотность потока  $\beta$ -частиц составляет  $<10$  част/(мин $\times$ см $^2$ ).



Рисунок 31. Объект №31.

Скважина КАР-2  $d=0,20$  м (обсадная труба спилена, без воды). Географические координаты: долгота  $78^{\circ}45'25,95''$ , широта  $49^{\circ}59'1,14''$ . Значения МЭД варьируют от 0,10 до 0,11 мкЗв/ч. Плотность потока  $\beta$ -частиц составляет  $<10$  част/(мин $\times$ см $^2$ ).



Рисунок 32. Объект №32.

Скважина №559  $d=0,30$  м (от земли 1 м, опалубка  $1 \times 1$  м, без воды). Географические координаты: долгота  $78^{\circ}45'39,4''$ , широта  $49^{\circ}59'35''$ . Значения МЭД варьируют от 0,12 до 0,16 мкЗв/ч. Плотность потока  $\beta$ -частиц составляет  $<10$  част/(мин $\times$ см $^2$ ).



Рисунок 33. Объект №33.

Скважина №559-2  $d=0,20$  м (от земли 1 м, с водой). Географические координаты: долгота  $78^{\circ}45'36,7''$ , широта  $49^{\circ}59'28,5''$ . Значения МЭД варьируют от 0,15 до 0,17 мкЗв/ч. Плотность потока  $\beta$ -частиц составляет  $<10$  част/(мин $\times$ см $^2$ ).



Рисунок 34. Объект №34.

Скважина №559-3  $d=0,20$  м (от земли 1 м, без воды). Географические координаты: долгота  $78^{\circ}45'41,7''$ , широта  $49^{\circ}59'28,3''$ . Значения МЭД варьируют от 0,14 до 0,20 мкЗв/ч. Плотность потока  $\beta$ -частиц составляет  $<10$  част/(мин $\times$ см $^2$ ).



Рисунок 35. Объект №35.

Скважина №547  $d=0,20$  м (от земли 1 м, закрыта металлической пробкой). Географические координаты: долгота  $78^{\circ}46'22,2''$ , широта  $49^{\circ}59'44,9''$ . Значения МЭД варьируют от 0,10 до 0,11 мкЗв/ч. Плотность потока  $\beta$ -частиц составляет  $<10$  част/(мин $\times$ см $^2$ ).



Рисунок 36. Объект №36.

КАР-7 насыпь виде квадрата 100x100 м, ширина 10 м, высотой 3 м Географические координаты: долгота 78°45'42,01", широта 49°59'51,28". Значения МЭД варьируют от 0,14 до 0,16 мкЗв/ч. Плотность потока  $\beta$ -частиц составляет <10 част/(мин $\times$ см<sup>2</sup>).



Рисунок 37. Объект №37.

Скважина КАР-8 d=0,20 м (от земли 1 м, опалубка 1x1 м, без воды). Географические координаты: долгота 78°45'55,62", широта 49°59'53,12". Значения МЭД варьируют от 0,10 до 0,13 мкЗв/ч. Плотность потока  $\beta$ -частиц составляет <10 част/(мин $\times$ см<sup>2</sup>).



Рисунок 38. Объект №38.

Скважина №481 d=0,20 м (от земли 1,3 м, без воды). Географические координаты: долгота 78°46'38", широта 50°0'9". Значения МЭД варьируют от 0,10 до 0,11 мкЗв/ч. Плотность потока  $\beta$ -частиц составляет <10 част/(мин $\times$ см<sup>2</sup>).



Рисунок 39. Объект №39.

Скважина №482  $d=0,20$  м (от земли 0,50 м, закрыта металлической пробкой). Географические координаты: долгота  $78^{\circ}47'30,3''$ , широта  $49^{\circ}59'57,5''$ . Значения МЭД варьируют от 0,10 до 0,13 мкЗв/ч. Плотность потока  $\beta$ -частиц составляет  $<10$  част/(мин $\times$ см $^2$ ).



Рисунок 40. Объект №40.

Скважина КАР-3  $d=0,20$  м (от земли 1 м, закрыта металлической пробкой). Географические координаты: долгота  $78^{\circ}45'8,71''$ , широта  $50^{\circ}0'3,89''$ . Значения МЭД варьируют от 0,11 до 0,14 мкЗв/ч. Плотность потока  $\beta$ -частиц составляет  $<10$  част/(мин $\times$ см $^2$ ).



Рисунок 41. Объект №41.

Скважина №529  $d=0,20$  м (от земли 0,40 м, закрыта металлической пробкой, без воды). Географические координаты: долгота  $78^{\circ}46'20,8''$ , широта  $50^{\circ}0'43,6''$ . Значения МЭД варьируют от 0,10 до 0,11 мкЗв/ч. Плотность потока  $\beta$ -частиц составляет  $<10$  част/(мин $\times$ см $^2$ ).

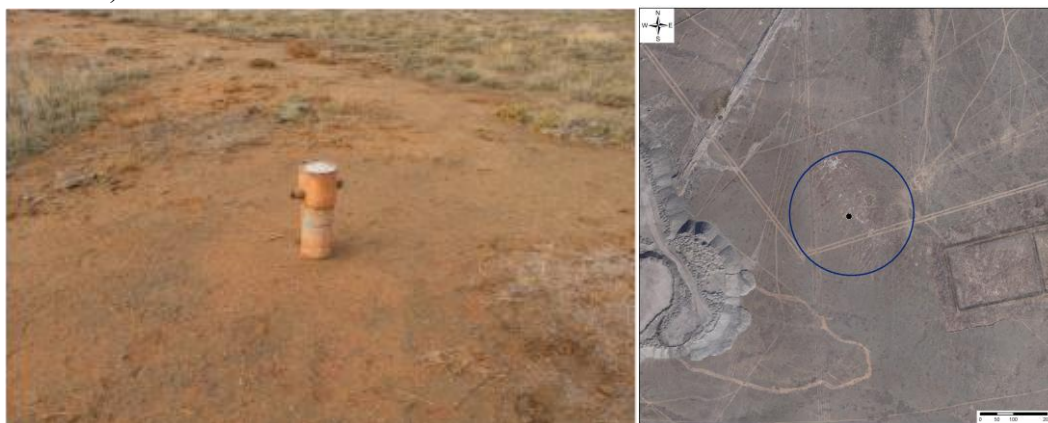


Рисунок 42. Объект №42.

Скважина №473  $d=0,20$  м (от земли 0,60 м, без воды). Географические координаты: долгота  $78^{\circ}45'1''$ , широта  $49^{\circ}59'52''$ . Значения МЭД варьируют от 0,15 до 0,21 мкЗв/ч. Плотность потока  $\beta$ -частиц составляет  $<10$  част/(мин $\times$ см $^2$ ).



Рисунок 43. Объект №43.

Скважина №501  $d=0,20$  м (от земли 0,60 м, без воды). Географические координаты: долгота  $78^{\circ}45'0,6''$ , широта  $50^{\circ}0'0,8''$ . Значения МЭД варьируют от 0,10 до 0,11 мкЗв/ч. Плотность потока  $\beta$ -частиц составляет  $<10$  част/(мин $\times$ см $^2$ ).



Рисунок 44. Объект №44.

Скважина №472  $d=0,20$  м (от земли 0,20 м, без воды). Географические координаты: долгота  $78^{\circ}44'51,46''$ , широта  $50^{\circ}0'8,63''$ . Значения МЭД варьируют от 0,10 до 0,13 мкЗв/ч. Плотность потока  $\beta$ -частиц составляет  $<10$  част/(мин $\times$ см $^2$ ).



Рисунок 45. Объект №45.

Карьер, отвалы. Географические координаты: долгота  $78^{\circ}44'28,42''$ , широта  $50^{\circ}0'41,07''$ . Значения МЭД варьируют от 0,10 до 0,12 мкЗв/ч. Плотность потока  $\beta$ -частиц составляет  $<10$  част/(мин $\times$ см $^2$ ).

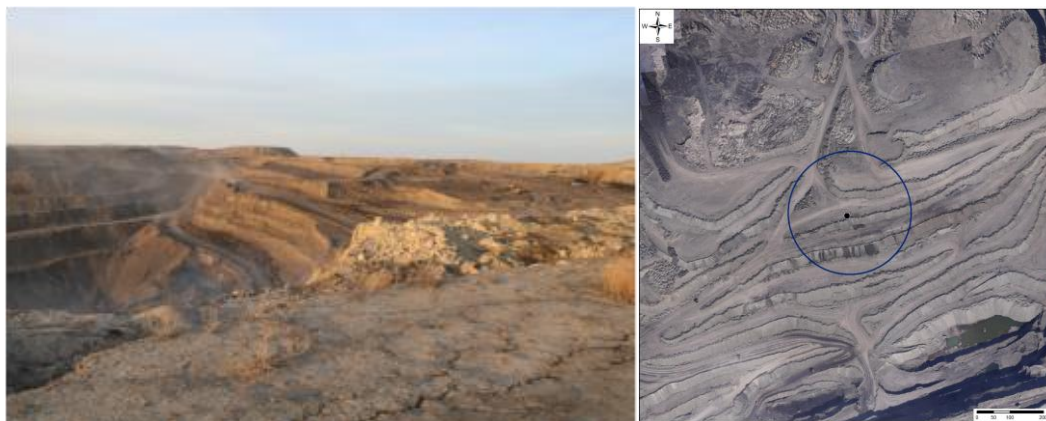


Рисунок 46. Объект №46.

Карьер, отвалы. Географические координаты: долгота  $78^{\circ}44'43,9''$ , широта  $50^{\circ}1'1,6''$ . Значения МЭД варьируют от 0,10 до 0,11 мкЗв/ч. Плотность потока  $\beta$ -частиц составляет  $<10$  част/(мин $\times$ см $^2$ ).



Рисунок 47. Объект №47.

Скважина №557  $d=0,20$  м (от земли 1 м, опалубка 1x1 м, без воды). Географические координаты: долгота  $78^{\circ}45'47,7''$ , широта  $50^{\circ}1'13,8''$ . Значения МЭД варьируют от 0,10 до 0,11 мкЗв/ч. Плотность потока  $\beta$ -частиц составляет  $<10$  част/(мин $\times$ см $^2$ ).



Рисунок 48. Объект №48.

Скважина №468  $d=0,20$  м (от земли  $0,20$  м, закрыта металлической пробкой). Географические координаты: долгота  $78^{\circ}43'50,9''$ , широта  $50^{\circ}0'20,8''$ . Значения МЭД варьируют от  $0,11$  до  $0,14$  мкЗв/ч. Плотность потока  $\beta$ -частиц составляет  $<10$  част/(мин $\times$ см $^2$ ).



Рисунок 49. Объект №49.

Карьер, внутренние юго-западные отвалы. Географические координаты: долгота  $78^{\circ}43'5,1''$ , широта  $50^{\circ}0'41,3''$ . Значения МЭД варьируют от  $0,11$  до  $0,13$  мкЗв/ч. Плотность потока  $\beta$ -частиц составляет  $<10$  част/(мин $\times$ см $^2$ ).



Рисунок 50. Объект №50.

Скважина №463 (засыпана, обсадная труба отсутствует, без воды).. Географические координаты: долгота  $78^{\circ}42'30''$ , широта  $50^{\circ}1'10''$ . Значения МЭД варьируют от  $0,14$  до  $0,16$  мкЗв/ч. Плотность потока  $\beta$ -частиц составляет  $<10$  част/(мин $\times$ см $^2$ ).



Рисунок 51. Объект №51.

Скважина №552  $d=0,20$  м (от земли 1,2 м, опалубка 1x1 м, без воды). Географические координаты: долгота  $78^{\circ}42'15,5''$ , широта  $50^{\circ}1'44,7''$ . Значения МЭД варьируют от 0,10 до 0,11 мкЗв/ч. Плотность потока  $\beta$ -частиц составляет  $<10$  част/(мин $\times$ см $^2$ ).

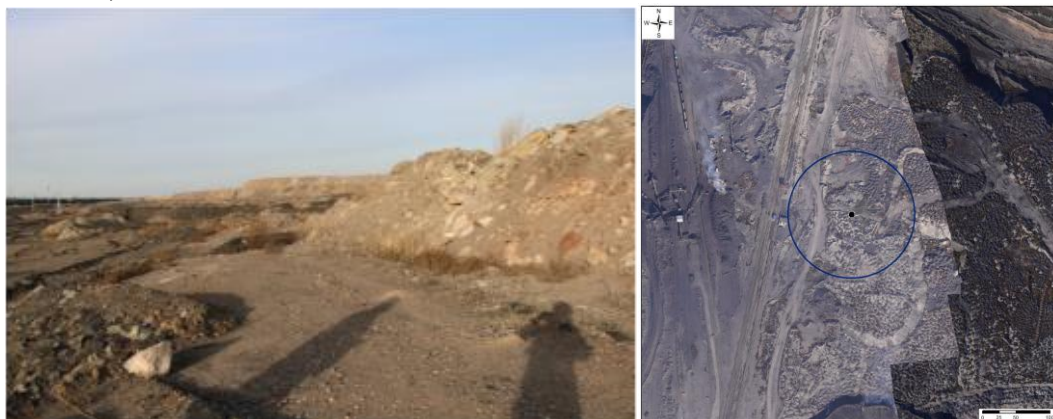


Рисунок 52. Объект №52.

Внутренний северо-восточный отвал. Географические координаты: долгота  $78^{\circ}44'7,42''$ , широта  $50^{\circ}1'51,1''$ . Значения МЭД варьируют от 0,10 до 0,11 мкЗв/ч. Плотность потока  $\beta$ -частиц составляет  $<10$  част/(мин $\times$ см $^2$ ).



Рисунок 53. Объект №53.

Внешний восточный отвал. Географические координаты: долгота  $78^{\circ}44'47,71''$ , широта  $50^{\circ}2'14,36''$ . Значения МЭД варьируют от 0,11 до 0,14 мкЗв/ч. Плотность потока  $\beta$ -частиц составляет  $<10$  част/(мин $\times$ см $^2$ ).

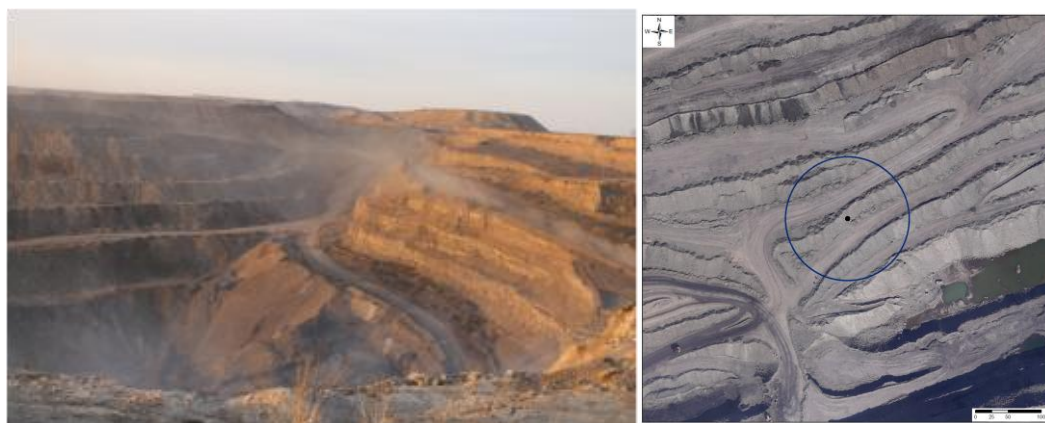


Рисунок 54. Объект №54.

Карьер, отвалы. Географические координаты: долгота  $78^{\circ}44'52,07''$ , широта  $50^{\circ}0'53,13''$ . Значения МЭД варьируют от 0,10 до 0,13 мкЗв/ч. Плотность потока  $\beta$ -частиц составляет  $<10$  част/(мин $\times$ см $^2$ ).



Рисунок 55. Объект №55.

Траншея 30х2,5х3 м, насыпь, пересекающая траншею 100х2х1 м Географические координаты: долгота  $78^{\circ}45'45,28''$ , широта  $50^{\circ}0'59,07''$ . Значения МЭД варьируют от 0,10 до 0,12 мкЗв/ч. Плотность потока  $\beta$ -частиц составляет  $<10$  част/(мин $\times$ см $^2$ ).

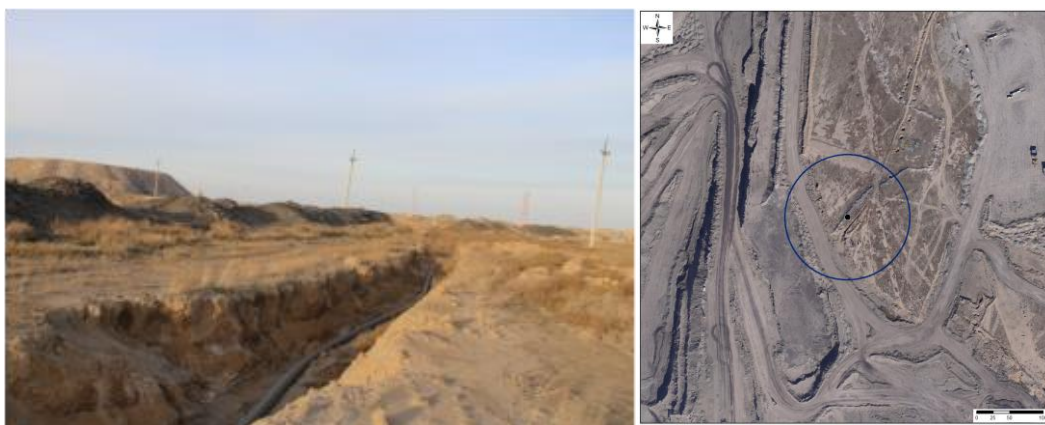


Рисунок 56. Объект №56.

Восточный борт 1 отступ (насыпь в длину 100х2х1 м, траншея водопровод 70х2х1,8 м). Географические координаты: долгота  $78^{\circ}45'29,04''$ , широта  $50^{\circ}1'5,16''$ . Значения МЭД варьируют от 0,10 до 0,13 мкЗв/ч. Плотность потока  $\beta$ -частиц составляет  $<10$  част/(мин $\times$ см $^2$ ).



Рисунок 57. Объект №57.

Внешний временный восточный отвал. Географические координаты: долгота  $78^{\circ}45'32,54''$ , широта  $50^{\circ}1'29,81''$ . Значения МЭД варьируют от 0,10 до 0,11 мкЗв/ч. Плотность потока  $\beta$ -частиц составляет  $<10$  част/(мин $\times$ см $^2$ ).



Рисунок 58. Объект №58.

Склады ВВ (взрывчатые вещества 100x100 м). Географические координаты: долгота  $78^{\circ}45'11,46''$ , широта  $50^{\circ}1'49,73''$ . Значения МЭД варьируют от 0,14 до 0,16 мкЗв/ч. Плотность потока  $\beta$ -частиц составляет  $<10$  част/(мин $\times$ см $^2$ ).



Рисунок 59. Объект №59.

Подстанция по периметру забор 100x100 м Географические координаты: долгота  $78^{\circ}43'59,04''$ , широта  $50^{\circ}2'26,59''$ . Значения МЭД варьируют от 0,10 до 0,11 мкЗв/ч. Плотность потока  $\beta$ -частиц составляет  $<10$  част/(мин $\times$ см $^2$ ).

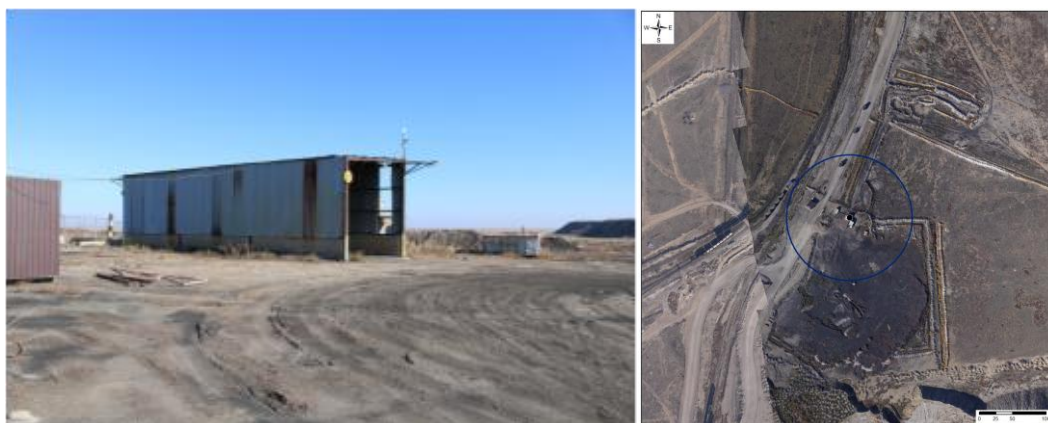


Рисунок 60. Объект №60.

Авто склад, старая весовая 20x10 м Географические координаты: долгота 78°44'18,91", широта 50°2'27,21". Значения МЭД варьируют от 0,10 до 0,13 мкЗв/ч. Плотность потока  $\beta$ -частиц составляет <10 част/(мин $\times$ см<sup>2</sup>).



Рисунок 61. Объект №61.

Строение кирпичное вдоль железной дороги 5x5 м Географические координаты: долгота 78°44'0,13", широта 50°2'21,67". Значения МЭД варьируют от 0,10 до 0,11 мкЗв/ч. Плотность потока  $\beta$ -частиц составляет <10 част/(мин $\times$ см<sup>2</sup>).



Рисунок 62. Объект №88.

Арм (арочный ремонт машин, белазов), строение металлическое 100x50 м Географические координаты: долгота 78°43'23,8", широта 50°2'3,3". Значения МЭД варьируют от 0,11 до 0,14 мкЗв/ч. Плотность потока  $\beta$ -частиц составляет <10 част/(мин $\times$ см<sup>2</sup>).



Рисунок 63. Объект №63.

Скважина  $d=0,20$  м (от земли 1,2 м, без воды). Географические координаты: долгота  $78^{\circ}46'58,5''$ , широта  $49^{\circ}59'13,7''$ . Значения МЭД варьируют от 0,10 до 0,11 мкЗв/ч. Плотность потока  $\beta$ -частиц составляет  $<10$  част/(мин $\times$ см $^2$ ).